



碧云天生物技术/Beyotime Biotechnology
订货热线: 400-1683301或800-8283301
订货e-mail: order@beyotime.com
技术咨询: info@beyotime.com
网址: http://www.beyotime.com

pISRE-TA-luc (报告基因质粒)

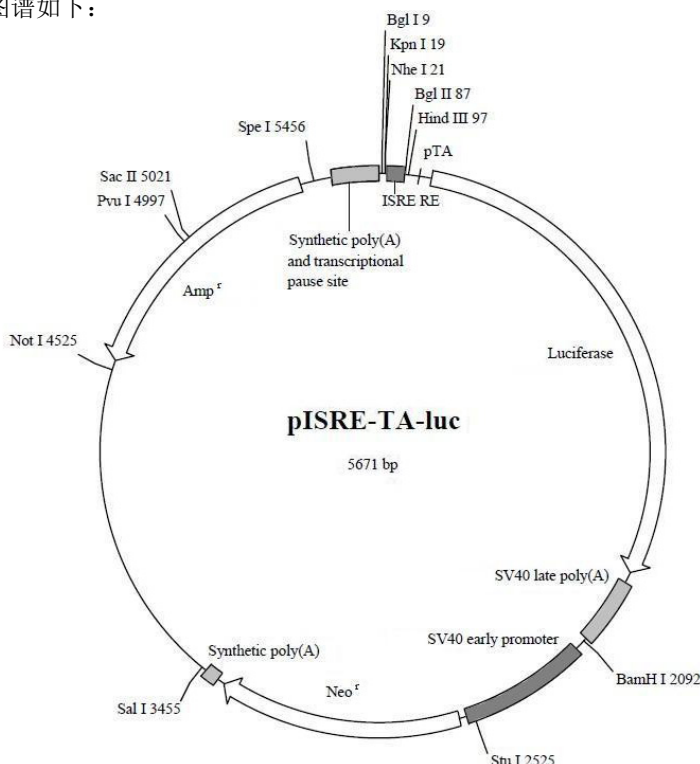
产品编号	产品名称	包装
D2179-1μg	pISRE-TA-luc (报告基因质粒)	1μg
D2179-100μg	pISRE-TA-luc (报告基因质粒)	100μg

产品简介:

- pISRE-TA-luc (报告基因质粒)是碧云天自行研发的用于检测ISRE转录活性水平的报告基因质粒。pISRE-TA-luc是以碧云天的pGL6-TA质粒为模板，在其多克隆位点插入了多个ISRE结合位点，可以高灵敏度地检测ISRE的激活水平。
- pGL6-TA质粒是用于在哺乳动物细胞中进行萤火虫萤光素酶(firefly luciferase)报告基因检测的新一代质粒。该报告基因质粒比Promega公司的pGL3系列有了全面的改进，一方面对于luciferase的编码进行了改进，确保能更好地在哺乳动物细胞中进行表达，同时对整个质粒中所有可以被预测出的可能的转录因子结合位点全部进行了适当的突变处理，在保持原有功能不变的情况下，使各种转录因子在质粒上的非特异性结合降到最低。
- pISRE-TA-luc质粒的主要信息如下：

Base pairs	5671
ISRE response element	26-85
Minimal TA promoter (pTA)	108-130
luc2 reporter gene	172-1824
SV40 late poly(A) signal	1859-2080
SV40 early enhancer/promoter	2128-2546
Synthetic neomycin phosphotransferase	
(Neor) coding region	2571-3365
Synthetic poly(A) signal	3390-3438
Reporter Vector primer 4 (RVprimer4) binding region	3505-3524
ColeE1-derived plasmid replication origin	3762
Synthetic Beta-lactamase (Ampr) coding region	4553-5413
Synthetic poly(A) signal/transcriptional pause site	5518-5671
Reporter Vector primer 3 (RVprimer3) binding region	5620-5639

- pISRE-TA-luc质粒的图谱如下：



- pISRE-TA-luc的多克隆位点及ISRE response element的详细图谱如下：

BglI	KpnI	NheI	ISRE response element
1 GGCCTAACTG GCCGGTACCG CTAGCGAAC TGAAACTGAA ACTGAAACTG			
CCGGATTGAC CGGCCATGGC GATCGCTTG ACTTGACTT TGACTTTGAC			
BglII HindIII			
51 AAACTGAAAC TGAAACTGAA ACTGAAACTG AAACTAGATC TGCAGAAGCT			
TTTGACTTTG ACTTTGACTT TGACTTTGAC TTTGATCTAG ACGTCTTCGA			
Minimal TA promoter			
101 TAGACACTAG AGGGTATA			
ATCTGTGATC TCCCATAT			

- pISRE-TA-luc中没有的酶切位点(Restriction enzymes that do not cut pISRE-TA-luc)包括：

Aat II	Afl II	Asc I	Ase I	Bsa I	BsaA I	BsiW I	BspM II
BssH II	Eco72 I	EcoR I	EcoR V	Mlu I	Nde I	Nru I	PaeR7 I
PflM I	Pme I	Pml I	Psp1406 I	PspA I	Rsr II	Sac I	Sma I
SnaB I	Spl I	Srf I	Tth111 I	Vsp I	Xcm I	Xho I	

- pISRE-TA-luc中的单酶切位点(Restriction enzymes that cut pISRE-TA-luc once)包括：

Sfi I	GGCCN,NNN`NGGCC	9	BstB I	TT`CG,AA	3441
Bgl I	GCCN,NNN`NGGC	9	Sal I	G`TCGA,C	3455
Acc65 I	G`GTAC,C	15	Afl III	A`CRYG,T	3705
Asp718	G`GTAC,C	15	ApaL I	G`TGCA,C	4019
Kpn I	G,GTAC`C	19	HgiE II	ACCNNNNNNNGGT -1/13	4284
Nhe I	G`CTAG,C	21	Not I	GC`GGCC,GC	4525
Bgl II	A`GATC,T	87	BstX I	CCAN,NNNN`NTGG	4549
Hind III	A`AGCT,T	97	BstE II	G`GTNAC,C	4552
BsrG I	T`GTAC,A	663	Ahd I	GACNN,N`NNGTC	4627
Dra III	CAC,NNN`GTG	1319	Bsu36 I	CC`TNA,GG	4983
Gsu I	CTGGAG 21/19	1552	Pvu I	CG,AT`CG	4997
Bpm I	CTGGAG 22/20	1553	Sac II	CC,GC`GG	5021
Apo I	R`AATT,Y	1935	Bst1107 I	GTA TAC	5137
Mun I	C`AATT,G	1999	Xca I	GTA TAC	5137
BamH I	G`GATC,C	2092	Spe I	A`CTAG,T	5456
Stu I	AGG CCT	2525	BsmA I	GTCTC`/9	5468
EcoN I	CCTNN`N,NNAGG	3046	BsmB I	CGTCTC 7/11	5469
BsiC I	TT`CG,AA	3441			

- pISRE-TA-luc质粒中推荐使用的测序引物序列如下：

RVprimer3 (5620-5639):

CTA GCA AAA TAG GCT GTC CC

- pISRE-TA-luc的全序列信息请参考碧云天网站上该质粒的信息。

包装清单：

产品编号	产品名称	包装
D2179-1μg	pISRE-TA-luc (报告基因质粒)	1μg
D2179-100μg	pISRE-TA-luc (报告基因质粒)	100μg
—	说明书	1份

保存条件：

-20°C保存。

注意事项：

- 本质粒未经碧云天书面许可不得用于任何商业用途，也不得移交给订货人所在实验室外的任何个人或单位。
- 本产品仅限于专业人员的科学研究用，不得用于临床诊断或治疗，不得用于食品或药品，不得存放于普通住宅内。
- 为了您的安全和健康，请穿实验服并戴一次性手套操作。

使用说明：

- 首次使用1μg包装的本产品时，请先取少量本质粒转化大肠杆菌，进行质粒小量、中量或大量抽提后再用于后续用途。抽提获得的质粒可以通过酶切电泳进行鉴定，或通过测序进行鉴定。

2. 100 μ g包装的本产品质粒浓度为0.1 μ g/ μ l, 共1ml。可以直接用于酶切或者转染细胞。
3. pISRE-TA-luc可以用常规的细胞转染方法转染细胞。检测时可采用碧云天的萤火虫萤光素酶报告基因检测试剂盒(RG005/RG006)或双萤光素酶报告基因检测试剂盒(RG027/RG028)。
4. 可以激活ISRE的试剂，可以用作pISRE-TA-luc报告基因检测时的阳性对照。

使用本产品的文献：

1. Sun R, Wang M, Wang L, Yue F, Yi Q, Huang M, Liu R, Qiu L, Song L. The immune responses triggered by CpG ODNs in shrimp *Litopenaeus vannamei* are associated with LvTolls. *Dev Comp Immunol.* 2014 Mar;43(1):15-22.
2. Cheng J, Sun Y, Zhang X, Zhang S, Yu S, Qiu X, Tan L, Song C, Gao S, Wu Y, Ding C. Toll-like receptor 3 inhibits Newcastle disease virus replication through activation of pro-inflammatory cytokines and the type-1 interferon pathway. *Arch Virol.* 2014 Nov;159(11):2937-48.
3. Huang B, Meng J, Yang M, Xu F, Li X, Li L, Zhang G. Characterization of the IRF2 proteins isolated from the deep-sea mussel *Bathymodiolus platifrons* and the shallow-water mussel *Modiolus modiolus*. *Dev Comp Immunol.* 2017 Jun;71:82-87.
4. Liu Q, Xu D, Jiang S, Huang J, Zhou F, Yang Q, Jiang S, Yang L. Toll-receptor 9 gene in the black tiger shrimp (*Penaeus japonicus*) induced the activation of the TLR-NF- κ B signaling pathway. *Gene.* 2018 Jan 10;639:27-33.
5. Sun Y, Mao X, Zheng H, Wu W, Rehman ZU, Liao Y, Meng C, Qiu X, Tan L, Song C, Xu L, Yu S, Ding C. Goose MAVS functions in RIG-I-mediated IFN- β signaling activation. *Dev Comp Immunol.* 2019 Apr;93:58-65.
6. Yu M, Zhang L, Liu Y, Liu D, Guo Z. Retinoic Acid Induces Differentiation of Mouse F9 Embryonic Carcinoma Cell by Modulating the miR-485 Targeting of Abhd2. *Int J Mol Sci.* 2019 Apr 26;20(9). pii: E2071.
7. Yu Y, Li Z, Guo R, Qian J, Zhang H, Zhang J, Zhao X, Wang S, Wang Y, Ononin, sec-O- β -d-glucosylhamaudol and astragaloside I: antiviral lead compounds identified via high throughput screening and biological validation from traditional Chinese medicine Zhongjing formula. *Pharmacol Res.* 2019 Jul;145:104248.
8. Xiaoli Liang, Yuan Huang, Xiping Pan, Yanbing Hao, Xiaowei Chen, Haiming Jiang, Jing Li, Beixian Zhou, Zifeng Yang. Erucic acid from *Isatis indigofera* Fort. suppresses influenza A virus replication and inflammation in vitro and in vivo through modulation of NF- κ B and p38 MAPK pathway. *J Pharm Anal.* 2020 Apr;10(2):130-146.; doi: 10.1016/j.jpha.2019.09.005.
9. Saisai Wang, Yiting Ling, Yuanyuan Yao, Gang Zheng, Wenbin Chen. Luteolin inhibits respiratory syncytial virus replication by regulating the MiR-155/SOCS1/STAT1 signaling pathway. *Virology.* 2020 Nov 25;17(1):187.; doi: 10.1186/s12985-020-01451-6.
10. Jingyu Wang, Lang Gong, Weidong Zhang, Wanli Chen, Haoming Pan, Yuchen Zeng, Xingling Liang, Jun Ma, Guihong Zhang, Heng Wang. Wnt/ β -catenin signaling pathway inhibits porcine reproductive and respiratory syndrome virus replication by enhancing the nuclear factor- κ B-dependent innate immune response. *Vet Microbiol.* 2020 Dec;251:108904.; doi: 10.1016/j.vetmic.2020.108904.

Version 2021.09.01